

УДК 621.315.592

МЕТОД АНАЛИЗА ДИАГРАММЫ НАПРАВЛЕННОСТИ ИЗЛУЧЕНИЯ ЛАЗЕРНОГО ДИОДА, РАБОТАЮЩЕГО НА ФУНДАМЕНТАЛЬНОЙ МОДЕ

© 2017 г. В. В. Близнюк¹, *, Н. В. Березовская¹, М. А. Брит¹, О. И. Коваль¹,
В. А. Паршин¹, А. Г. Ржанов²

¹Федеральное государственное бюджетное образовательное учреждение высшего образования
“Национальный исследовательский университет “МЭИ”, Москва

²Федеральное государственное бюджетное образовательное учреждение высшего образования
“Московский государственный университет имени М.В. Ломоносова”

*E-mail: 4059541@mail.ru

Рассмотрен метод и приведен алгоритм определения режима генерации лазерного диода на фундаментальной моде, основанные на натурных измерениях угла расходимости излучения в дальней зоне поля и представлении функции, описывающей диаграмму направленности такого излучения в явной форме без измерений распределения его интенсивности в ближней зоне поля.

DOI: 10.7868/S0367676517010082

ВВЕДЕНИЕ

В практической метрологии лазерного излучения часто возникает задача определения генерации на фундаментальной моде. Методы решения этой задачи для остронаправленного излучения подробно рассмотрены в ряде стандартов [1–3], а средства измерений коэффициентов распространения лазерных пучков M^2 , в которых реализуются эти методы, уже более 10 лет мелкими партиями выпускаются фирмами Ophir и Coherent.

Значительно хуже выглядит ситуация с решением задачи определения генерации на фундаментальной моде в случае диагностики сильно расходящегося излучения лазерных диодов (далее – ЛД). В настоящее время нет стандартизованных методов определения параметра M^2 , характеризующего распространение излучения с большими углами расходимости, и, как следствие, стандартизованных средств измерений параметров такого излучения.

Нестандартизованные методы определения параметра M^2 базируются на измерениях распределений интенсивности излучения $F(y)$ в ближней и $f(\theta)$ в дальней зоне поля только в двух плоскостях – в плоскости, перпендикулярной $p-n$ -переходу (далее – вертикальной плоскости), и в плоскости $p-n$ -перехода (далее – горизонтальной плоскости). Измерения зависимости $F(y)$ являются наиболее сложным этапом реализации таких методов.

Однако при определении режима генерации излучения ЛД на фундаментальной моде можно исключить измерения параметра M^2 и ограничиться анализом зависимости $f(\theta)$. Цель данной работы – разработка метода такого анализа. Не нарушая общности рассуждений, остановимся на анализе распределения интенсивности излучения $f^\perp(\theta)$ в дальней зоне в вертикальной плоскости.

ОПРЕДЕЛЕНИЕ ВИДА АНАЛИТИЧЕСКОЙ ФУНКЦИИ, ОПИСЫВАЮЩЕЙ ДИАГРАММУ НАПРАВЛЕННОСТИ ИЗЛУЧЕНИЯ В ДАЛЬНЕЙ ЗОНЕ

При разработке метода анализа функции $f^\perp(\theta)$ воспользуемся тем, что при генерации излучения на фундаментальной моде нормированное распределение интенсивности излучения ЛД в вертикальной плоскости в ближней зоне имеет вид [4, 5]

$$F^\perp(x) = \exp[-a^2 x^2], \quad (1)$$

а найденное путем фурье-преобразования (1) нормированное угловое распределение интенсивности излучения в той же плоскости в дальней зоне –

$$f^\perp(\theta) = G^2(\theta^\perp) \exp\left(-k_0^2 \sin^2 \theta^\perp / (2a^2)\right), \quad (2)$$

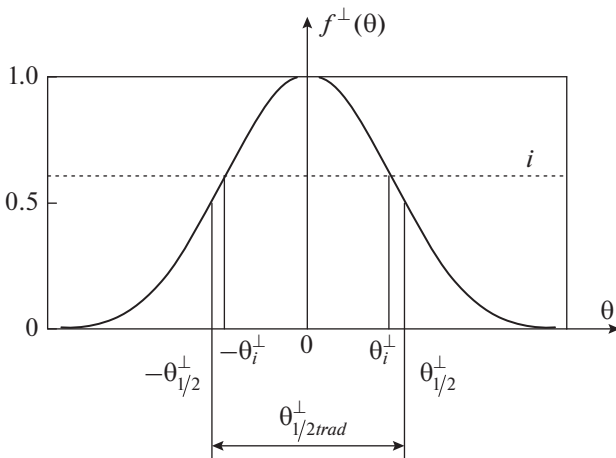


Рис. 1. Методика анализа диаграмм направленности в случае симметричных лазерных пучков, направление оси которых задается полярным углом $\theta = 0$.

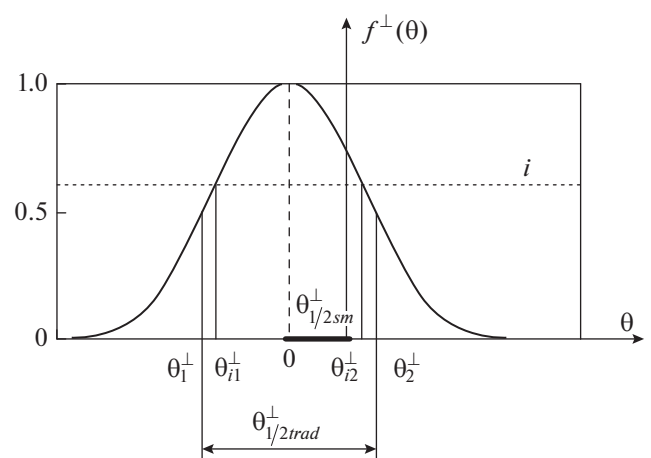


Рис. 2. Методика анализа диаграмм направленности в случае, когда ось лазерного пучка повернута на угол $\theta_{1/2sm}$ относительно направления, задаваемого полярным углом $\theta = 0$.

где k_0 – волновое число в вакууме; $G^2(\theta^\perp)$ – возведенное в квадрат значение углового фактора Гюйгенса [5]:

$$G^2(\theta^\perp) = \left[\left(m^2 + \sqrt{n^2 - \sin^2 \theta^\perp} \right) / \left(m^2 \cos \theta^\perp + \sqrt{n^2 - \sin^2 \theta^\perp} \right) \right]^2 \cos^2 \theta^\perp, \quad (3)$$

где $m = 1$ для ТЕ-мод или $m = n$ для ТМ-мод, а n – показатель преломления волновода.

Из (2) и (3) следует, что функция $f^\perp(\theta)$, описывающая диаграмму направленности излучения ЛД на фундаментальной моде, должна быть четной, а сама диаграмма – симметричной относительно оси лазерного пучка.

В случае симметричных лазерных пучков, направление оси которых задается полярным углом $\theta = 0$, функция $f^\perp(\theta)$ равна некоторому значению i при двух аргументах θ_i^\perp , равных по модулю, но противоположных по знаку (рис. 1). Для анализа таких диаграмм в настоящей работе использован половинный угол расходимости $\theta_{1/2}^\perp$, определяемый по формуле

$$\theta_{1/2}^\perp = 0.5\theta_{1/2\text{trad}}^\perp, \quad (4)$$

где $\theta_{1/2\text{trad}}^\perp$ – полный угол расходимости излучения, измеряемый, по традиции, сложившейся в полупроводниковой квантовой электронике, на уровне 1/2 максимальной интенсивности излучения ЛД (рис. 1).

Использование параметра $\theta_{1/2}^\perp$ позволяет анализировать функцию $f^\perp(\theta)$ и в том случае, когда ось лазерного пучка повернута на угол $\theta_{1/2sm}^\perp$ относительно направления, задаваемого полярным углом $\theta = 0$ (рис. 2). Однако при этом следует учи-

тывать, что условие $f^\perp(\theta_{1/2}^\perp) = 0.5$ выполняется при двух разных значениях параметра $\theta_{1/2}^\perp$: θ_1^\perp и θ_2^\perp , имеющих противоположные знаки, и поэтому сам параметр $\theta_{1/2}^\perp$ необходимо рассчитывать по формуле

$$\theta_{1/2}^\perp = \theta_{1/2sr}^\perp = 0.5(|\theta_1^\perp| + |\theta_2^\perp|), \quad (5)$$

а угол поворота оси лазерного пучка $\theta_{1/2sm}^\perp$ находится как разность модуля большего из двух значений параметра $\theta_{1/2}^\perp$ и $\theta_{1/2sr}^\perp$:

$$\theta_{1/2sm}^\perp = |\theta_1^\perp| (\text{или} |\theta_2^\perp|) - \theta_{1/2sr}^\perp. \quad (6)$$

Найденный из (6) угол поворота оси лазерного пучка $\theta_{1/2sm}^\perp$ учитывается при определении параметров θ_i^\perp , когда функция $f^\perp(\theta_i^\perp)$ не равна 1/2.

Подставляя $\theta_{1/2}^\perp$ в (2) и используя условие $f^\perp(\theta_{1/2}^\perp) = 0.5$, находим формулу для расчета коэффициента a^2 . Используя эту формулу и (2), без измерений распределения интенсивности излучения в ближней зоне определяем вид функции, описывающей диаграмму направленности излучения ЛД на фундаментальной моде:

$$f^\perp(\theta) = G^2(\theta^\perp) \exp(-A^2 z^2), \quad (7)$$

где

$$A^2 = \frac{\ln[2G^2(\theta_{1/2}^\perp)]}{\sin^2\theta_{1/2}^\perp}; \quad (8)$$

$$z^2 = \sin^2\theta^\perp, \quad (9)$$

где $G^2(\theta_{1/2}^\perp)$ – квадрат углового фактора Гюйгенса при $\theta = \theta_{1/2}^\perp$, рассчитываемый по формуле (5), z – абсцисса точки гауссовой кривой в декартовой системе координат $\Phi_g(z) = \exp(-A^2 z^2)$ (рис. 2).

ИСПОЛЬЗОВАНИЕ ХАРАКТЕРНЫХ ОСОБЕННОСТЕЙ ГАУССОВОЙ КРИВОЙ ДЛЯ АНАЛИЗА ДИАГРАММЫ НАПРАВЛЕННОСТИ ОДНОМОДОВОГО ИЗЛУЧЕНИЯ

Воспользуемся тем, что точки перегиба B и C гауссовой кривой имеют координаты $\pm 1/(A\sqrt{2})$, $1/\sqrt{e}$ [6], а касательные к кривой в этих точках описываются функцией

$$\Theta(z) = \exp(-1/2)(2 - |z|/|z_p|), \quad (10)$$

где $\pm z_p$ – абсциссы точек B и C .

Так как $z_p = \pm 1/(A\sqrt{2})$, то $|z_p| = 1/(A\sqrt{2})$. Тогда (10) принимает следующий вид:

$$\Theta(z) = \exp(-1/2)(2 - A\sqrt{2}|z|), \quad (11)$$

где, с учетом (9), $-1 \leq z \leq 1$.

Для проведения анализа функции $f^\perp(\theta)$ с использованием функции $\Theta(z)$ выразим из (11) z через $\Theta(z)$:

$$|z| = [2 - \sqrt{e}\Theta(z)]/(A\sqrt{2}), \quad (12)$$

а затем, после ряда простых преобразований, найдем, что

$$A^2 z^2 = 2 - \sqrt{e}\Theta(z) - e\Theta^2(z)/2. \quad (13)$$

Тогда (7) принимает следующий вид:

$$f^\perp(\theta) = G^2(\theta^\perp) \exp[e\Theta^2(z)/2 + \sqrt{e}\Theta(z) - 2]. \quad (14)$$

АЛГОРИТМ ОПРЕДЕЛЕНИЯ РЕЖИМА ГЕНЕРАЦИИ НА ФУНДАМЕНТАЛЬНОЙ МОДЕ

Задавая некоторое значение $\Theta(z_i)$, из (14) находим, что

$$f^\perp(\theta_i) = G^2(\theta_i^\perp) \times \\ \times \exp[e\Theta^2(z_i)/2 + \sqrt{e}\Theta(z_i) - 2], \quad (15)$$

где, согласно (9), $z_i = |\sin\theta_i^\perp|$. Используя (13) и то, что функция $\Theta(z)$ линейна, можно легко определить аргумент z_i , а значит, и угол θ_i^\perp , при котором функция принимает заданное значение Θ

$$\sin^2\theta_i^\perp = \sin^2\theta_{1/2}^\perp \times \\ \times [(2 - \sqrt{e}\Theta(z_i) - e\Theta^2(z_i)/2)/\ln[2G^2(\theta_{1/2}^\perp)]], \quad (16)$$

где $\theta_{1/2}^\perp$ – параметр, рассчитываемый по формуле (6), когда $\theta_{1/2sm}^\perp = 0$, или по формуле (7), если $\theta_{1/2sm}^\perp \neq 0$.

В силу четности функций $\sin^2\theta_i^\perp$ и $\Theta(z_i)$ имеются два значения параметра θ_i^\perp . При $\theta_{1/2sm}^\perp = 0$ модули этих значений равны, а знаки противоположны. Используя найденные из (16) значения θ_i^\perp , по массиву экспериментально определенных значений нормированной функции углового распределения интенсивности излучения ЛД в свободное пространство определяем соответствующие им значения $f^\perp(\theta_i^\perp)$. В том случае когда диаграмма направленности симметрична, эти значения должны быть равными с точностью, определяемой погрешностью измерений. При $\theta_{1/2sm}^\perp \neq 0$ в правую часть (16) вместо найденного по (6) параметра $\theta_{1/2}^\perp$ подставляем значение $\theta_{1/2sr}^\perp$, определяемое по (7). И в этом случае расчетный параметр θ_i^\perp имеет два значения противоположного знака: θ_3^\perp и θ_4^\perp , однако их модули не равны. Поэтому для определения экспериментально измеренного значения $f^\perp(\theta_i^\perp)$ в качестве аргумента необходимо подставить значения, равные алгебраическим суммам $\theta_3^\perp + \theta_{1/2sm}^\perp$ и $\theta_4^\perp + \theta_{1/2sm}^\perp$.

Зная θ_i^\perp и используя (5), находим квадрат углового параметра $G^2(\theta_i^\perp)$ и численное значение функции $f^\perp(\theta_i^\perp)$:

$$f_{rasch}^\perp(\theta_i^\perp) = \\ = G^2(\theta_i^\perp) \exp[e\Theta^2(z_i)/2 + \sqrt{e}\Theta(z_i) - 2]. \quad (17)$$

Если значение $f^\perp(\theta_i^\perp)$, найденное из массива чисел, полученного при измерениях нормированной функции углового распределения интенсивности излучения ЛД с учетом смещения оси диаграммы направленности $\theta_{1/2sm}^\perp$, равно правой части (17), имеет место генерация ЛД на фундаментальной моде.

Проверку режима генерации лазерного диода на фундаментальной моде по разработанному в настоящей работе методу можно осуществлять при любом значении θ_i^\perp , лежащем в рабочем диапазоне таких значений. Верхняя граница этого диапазона определяется отношением сигнал/шум, при котором еще обеспечивается требуемая точность измерений пространственно-энергетических параметров излучения лазерного диода [7, 8].

Разработанный метод анализа диаграмм направленности излучения ЛД в свободное пространство использован нами для определения режима генерации тридцати двух экземпляров из разных партий серийно изготовленных лазерных диодов. У двадцати пяти лазерных диодов натурно измеренные диаграммы направленности описываются функцией (15) при значениях этой функции, превышающих 0.05 ее максимального значения. Это позволяет заключить, что режим их генерации – это режим генерации на фундаментальной моде. У семи лазерных диодов отмечалось отклонение диаграммы направленности излучения от функции (15) при значениях этой функции, меньших 0.25 ее максимального значения. Здесь можно говорить о том, что только центральная часть лазерного пучка близка к гауссовому пучку. Определение границы этой части пучка играет важную роль при конструировании узла связи излучения и одномодового оптического волокна.

ЗАКЛЮЧЕНИЕ

Показана возможность определения режима генерации на фундаментальной моде без измерений распределения интенсивности излучения ЛД в ближней зоне, что значительно упрощает его

диагностику. Получены в явном виде формулы, аналитически описывающие диаграмму направленности излучения ЛД в свободное пространство, что позволило разработать простой алгоритм определения режима генерации на фундаментальной моде. Установлено, что лазерные пучки некоторых диодов являются гауссовыми только в центральной области, что необходимо учитывать при согласовании излучения с оптическим волокном.

СПИСОК ЛИТЕРАТУРЫ

1. ГОСТ Р ИСО11146-1-2008. Лазеры и лазерные установки (системы). Методы измерений ширин, углов расходимости и коэффициентов распространения лазерных пучков. Часть 1. Стигматические (гомоцентрические) и слабостигматические пучки.
2. ГОСТ Р ИСО11146-2-2008. Лазеры и лазерные установки (системы). Методы измерений ширин, углов расходимости и коэффициентов распространения лазерных пучков. Часть 2. Астигматические пучки.
3. ГОСТ Р/ТР ИСО11146-3-2008. Лазеры и лазерные установки (системы). Методы измерений ширин, углов расходимости и коэффициентов распространения лазерных пучков. Часть 3. Стигматические (гомоцентрические) и слабостигматические пучки.
4. Кейси Х., Паниши М. Лазеры на гетероструктурах. М.: Мир, 1981. Т. 1. 299 с. Т. 2. 364 с.
5. Thompson G.H.B. Physics of semiconductor laser devices. N.Y.: J. Wiley and Sons, 1980. P. 185.
6. Бронштейн И.Н., Семеняев К.А. Справочник по математике. М.: Гос. изд-во технико-теорет. лит., 1957. 608 с.
7. Некоркин С.М., Звонков Б.Н., Карзанова М.В. и др. // Квантовая электроника. 2012. Т. 42. № 10. С. 931.
8. Слипченко С.О., Пидоскин А.А., Винокуров Д.А. и др. // Физика и техника полупроводников, 2013. Т. 47. № 8. С. 1082.